

с задержкой в несколько микросекунд, когда слой ударно-сжатого ксенона или аргона еще мал. Очевидно, что в этих условиях в область за границей срыва потока (см. рис. 1) может проникнуть толкающий газ и заполнить ее при дальнейшем движении УВ по каналу. В таком случае имеет место эффект «нинчевания» рабочего газа вблизи оси канала и идеализированная схема (см. рис. 1) окажется малоприменимой.

Изложенные выше соображения и сомнения в правильности интерпретации предшествующих экспериментов в полной мере применимы и к работе [10], в которой схема бифуркации [3, 8] в упрощенном виде использована для исследования деформации фронта в разрушаемом взрывном канале, облицованном стеклами с напыленным слоем металла.

В заключение отметим, что обсуждаемое явление стало серьезной помехой на пути дальнейшего развития техники высокоэнтальпийных ударных труб и заслуживает дальнейшего изучения и обсуждения.

ЛИТЕРАТУРА

1. Shreffler R. G., Christian R. H. Boundary disturbances in high-explosive shock tubes // J. Appl. Phys.— 1954.— V. 25, N 3.
2. Савров С. Д., Агеев И. М. Лабораторная взрывная ударная труба // ТВТ.— 1980.— Т. 18, № 6.
3. Губкин К. Е. Распространение взрывных волн // Механика в СССР за 50 лет.— М.: Наука, 1970.— Т. 2.
4. Edmund J. Gion. Plane shock interacting with thermal layer // Phys. Fluids.— 1977.— V. 20, N 4.
5. Mirels H. Mach reflection flow fields associated with strong shocks // AIAA J.— 1985.— V. 23, N 4.
6. Артемьев В. И., Маркович И. Э. и др. Двумерное автомодельное движение сильной ударной волны над нагретой поверхностью // ДАН СССР.— 1987.— Т. 293, № 5.
7. Бергельсон В. И., Немчинов И. В. и др. Автомодельное развитие предвестника перед ударной волной, взаимодействующей с теплым слоем // ДАН СССР.— 1987.— Т. 296, № 3.
8. Савров С. Д. Исследование динамики возбуждения излучающих ударных волн // Механика быстротекучих процессов.— Новосибирск: ИГД, 1984.
9. Никулин М. А., Попов Е. Г. Излучательные свойства ударных волн в газах.— М.: Наука, 1977.
10. Киселев Ю. Н., Клунов В. А. и др. Исследование образования пристеночных возмущений при распространении ударных волн в трубах из различных материалов // ПМТФ.— 1986.— № 1.

г. Москва

Поступила 4/V 1988 г.

УДК 534.222.2+535.211

В. В. Зосимов, М. Ю. Кукушкин, К. А. Наугольных, О. В. Пученков

ГИДРОДИНАМИЧЕСКИЕ ЯВЛЕНИЯ ПРИ ВЗАИМОДЕЙСТВИИ ОПТИЧЕСКОГО ИЗЛУЧЕНИЯ С СИЛЬНО ПОГЛОЩАЮЩИМИ ДИЭЛЕКТРИЧЕСКИМИ ЖИДКОСТЯМИ

В многочисленных экспериментальных и теоретических работах к настоящему времени рассмотрены различные аспекты взаимодействия интенсивного оптического излучения с сильно поглощающими жидкостями [1—7]. Традиционной экспериментальной методикой исследования этого взаимодействия является регистрация акустических возмущений, возникающих под действием оптического излучения в жидкости и в прилегающем к ней газе. Такая регистрация проводится датчиками давления различной конструкции [3, 6], а также с помощью оптических теневых методов [1, 2, 5]. Однако из-за отсутствия общепризнанной теоретической модели процесса взаимодействия интенсивного оптического излучения с сильно поглощающими жидкостями эксперименты, связанные с акустическими измерениями, не получают в работах разных авторов единой интерпретации [4, 6, 7]. Поэтому возникает необходимость в получении новых дополнительных данных о физике происходящих явлений.

В настоящей работе исследуются сопровождающие процесс взаимодействия гидродинамические возмущения границы раздела жидкость — газ. Временной масштаб развития этих возмущений значительно превосходит характерное время форми-

рования и эволюции акустических возмущений. Эта («гидродинамическая») стадия процесса взаимодействия детально не изучалась (эксперименты [8] носят качественный демонстрационный характер). Имеются, однако, работы, посвященные изучению сходных гидродинамических явлений в жидкости, вызванных взрывом на ее поверхности [9, 10]. Проведенное нами исследование позволило в некотором интервале интенсивности лазерного излучения установить линейную связь между действующим на поверхность жидкости полным импульсом давления отдачи вылетающего с поверхности пара и плотностью энергии падающего лазерного излучения. Причем коэффициент пропорциональности в пределах точности измерений одинаков для трех рассматриваемых жидкостей (вода, этанол, нагретый глицерин).

1. Постановка задачи. Поглощение в жидкости лазерного излучения достаточно высокой энергии сопровождается процессами интенсивного парообразования в ее приповерхностном слое [6]. За счет импульса отдачи вылетающего с поверхности пара на нее действует некоторое давление, что приводит к генерации звука и вызывает остаточное течение в жидком полупространстве. Пренебрегая эффектами вязкости, а также изменением энтропии, для потенциала этого течения можно написать интегральное соотношение

$$(1.1) \quad \varphi(\tau) = -\frac{1}{\rho_0} \int_0^\tau p' dt + \frac{1}{\rho_0} \int_0^\tau \frac{p'^2}{\rho_0 c^2} dt - \int_0^\tau \frac{v^2}{2} dt,$$

где ρ_0 и c — плотность и скорость звука; p' — избыточное давление, возникающее под действием импульса отдачи; v — скорость движения; τ — длительность импульса отдачи. Рассматривая случай умеренных давлений, когда $p' \ll \rho_0 c^2$, пренебрегаем вторым интегралом в (1.1). На свободной поверхности избыточное давление p' равно внешнему импульсному давлению P . Обозначая через a характерный размер области действия импульсного давления, скорость жидкости вблизи поверхности можно оценить как $v \sim \varphi/a$. Если учитывать только вклад первого интеграла

из (1.1) в величину φ , то найдем $v \simeq \Pi/(\rho_0 a)$ ($\Pi = \int_0^\tau P dt$ — полный импульс давления отдачи). Тогда последний интеграл из (1.1) оценивается

выражением $\int_0^\tau \frac{v^2}{2} dt \sim \frac{\Pi^2}{2\rho_0^2 a^2} \tau$, а смещение поверхности из положения

равновесия к моменту $t = \tau$ имеет вид $h \sim (\Pi/(\rho_0 a))\tau$. Из приведенных оценок следует, что при выполнении условия

$$(1.2) \quad \Pi \ll \rho_0 a^2 / \tau$$

можно пренебречь последним интегралом в (1.1), а также считать поверхность жидкости по окончании действия импульса давления плоской. Для рассмотренного нами случая взаимодействия с жидкостями излучения электроразрядного CO_2 -лазера τ не превосходит 10 мкс [6, 7]. Считая $a \sim 2 \cdot 10^{-3}$ м, $\rho_0 \sim 10^3$ кг/м³, получаем из (1.2) ограничение $\Pi \ll 400$ Па·с.

Таким образом, проблема описания гидродинамических возмущений поверхности жидкости, возникающих под действием мощного оптического излучения, сводится к решению задачи о несжимаемом течении с заданным распределением начального потенциала на плоской свободной поверхности

$$\varphi|_{t=0}(\mathbf{r}) = -\frac{1}{\rho_0} \Pi(\mathbf{r}) = -\frac{1}{\rho_0} \int_0^\tau P(t, \mathbf{r}) dt.$$

2. Теоретический анализ. Решение поставленной задачи нетрудно найти в линейном приближении малых возмущений в виде разложения по гравитационно-капиллярным волнам (ГКВ). Для аксиально-симметричного распределения $\Pi(\mathbf{r}) = \Pi_0 f(|\mathbf{r}|)$ такое разложение удобно проводить с использованием преобразования Лапласа по временной переменной и Ганкеля по пространственной переменной [11]. Учет влияния вязкости

на характер возникающих поверхностных возмущений в случае, когда вязкость достаточно мала: $\nu \ll \omega(k)/(2k^2)$ (ν — кинематическая вязкость, $\omega(k)$ и k — частота и волновое число, связанные дисперсионным соотношением для спектра ГКВ), производится способом, указанным в [12]. При сделанных предположениях получаем выражение для вертикальных смещений поверхности

$$(2.1) \quad h(t, r) = \frac{1}{\rho_0} \int_0^{\infty} \Pi^+(k) k^2 J_0(kr) \frac{\sin(\omega t)}{\omega} \exp\{-2\nu k^2 t\} dk.$$

Здесь $\omega = \sqrt{k(g + \sigma k^2/\rho_0)}$; σ — коэффициент поверхностного натяжения; g — ускорение силы тяжести; J_0 — функция Бесселя; $\Pi^+(k)$ — преобразование Ганкеля распределения $\Pi(r)$ полного импульса давления отдачи. Учитывая, что в основном возбуждаются ГКВ с длиной порядка размера области возмущения, можно оценить характерное время Δt , за которое поверхность максимально отклоняется от положения равновесия: $\Delta t \sim [a/(g + \sigma(\rho_0 a^2))]^{1/2}$. В частности, для воды при $a = 1,5$ мм находим $\Delta t \sim 6$ мс (расчет на основе выражения (2.1) дает $\Delta t = 4,5$ мс). На рис. 1 показан вычисленный по формуле (2.1) профиль поверхности воды в момент $t = 47$ мс, когда распространяющаяся ГКВ практически сформировалась. Расчет выполнен для гауссового распределения $\Pi(r) = \Pi_0 \times \exp(-r^2/a^2)$ ($\Pi_0 = 1$ Па·с, $a = 1,5$ мм).

В обратном предельном случае очень большой вязкости ($\nu \gg \omega/k^2$) решение можно получить из линеаризованного уравнения Навье — Стокса (естественно, граничное условие также должно быть записано с учетом вязкости). В этом случае имеем затухающее аperiodическое решение

$$(2.2) \quad h(t, r) = \frac{1}{\rho_0} \int_0^{\infty} \Pi^+(k) k^2 J_0(kr) \frac{\exp\{-Qt/(2k\nu)\} - \exp\{-2\nu k^2 t\}}{2\nu k^2 - Q/(2k)} dk$$

($Q = \omega^2/k$). Оба решения (2.1) и (2.2) справедливы при условии $|h_{\max}| < a$, что налагает ограничение на импульс давления Π_0 . Ниже при обсуждении экспериментальных данных приведены соответствующие оценки.

При $h > a$ задача становится нелинейной и ее полное аналитическое решение получить не удается. Однако ряд экспериментально обнаруженных особенностей эволюции изучаемых поверхностных возмущений позволил разработать теоретическую модель и для нелинейной задачи. Оказалось, что в довольно широком диапазоне энергий лазерного излучения, взаимодействующего с жидкостью, деформируемый участок поверхности на определенной стадии представляет собой полусферу, расширяющуюся внутрь жидкости (см. рис. 3). Такое течение полностью определяется законом расширения полусферы $R(t)$. Пусть E_0, R_0 — энергия движения и радиус полусферы в начальный момент t_0 , тогда уравнение баланса энергий имеет вид

$$(2.3) \quad \pi \rho_0 R^3(t) \dot{R}^2(t) + \Delta F_{\text{св}} = E_0,$$

где приращение свободной энергии $\Delta F_{\text{св}}$ складывается из приращения поверхностной энергии $\Delta F_{\text{пов}} =$

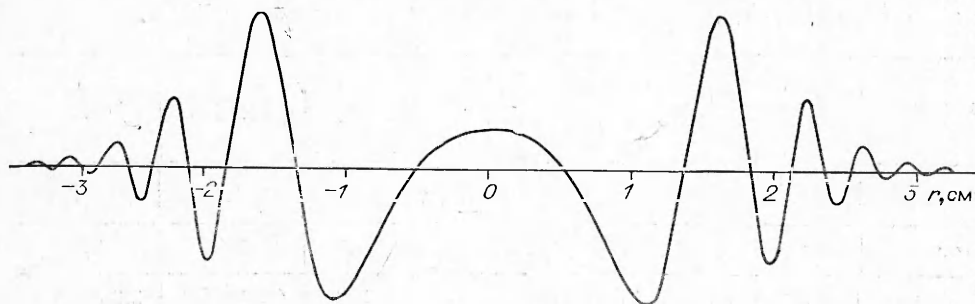


Рис. 1

$= \pi\sigma(R^2(t) - R_0^2)$ и потенциальной энергии в поле тяжести $\Delta F_T(R)$. В условиях нашего эксперимента при $\sqrt{2\sigma/(g\rho_0)} \gg R$ выполнено соотношение $\Delta F_{\text{пов}} \gg \Delta F_T$. Интегрируя (2.3), получаем

$$(2.4) \quad t - t_0 = \int_{R_0}^R \sqrt{\frac{\pi\rho_0 R^3}{E_0 - \Delta F_{\text{св}}}} dR.$$

Считая, что начальная энергия E_0 достаточно велика (так что для некоторого временного интервала выполнено условие $E_0 \gg \Delta F_{\text{св}}$), выражение (2.4) запишем в форме

$$(2.5) \quad R = \left[R_0^{5/2} + \frac{5}{2} \sqrt{\frac{E_0}{\pi\rho_0}} (t - t_0) \right]^{2/5}.$$

Начальный радиус в (2.3)–(2.5) можно считать равным характерному радиусу области действия импульса давления: $R_0 = a$. В случае параболического распределения полного импульса давления отдачи $\Pi(r) = \Pi_0 \times [1 - (r/a)^2]$ полная энергия течения, определяемая по начальному распределению потенциала, $E_{\text{пол}} = \frac{16}{15} \frac{\Pi_0^2 a}{\rho_0} \sim \frac{\Pi_0^2 a}{\rho_0}$. Нетрудно видеть, что при

$$(2.6) \quad \Pi_0 \gg \sqrt{a\sigma\rho_0}$$

можно пренебречь долей полной энергии, идущей на образование новой поверхности при деформации первоначально плоской границы в полусферу радиуса a , и считать, что в (2.3)–(2.5) $E_0 \simeq E_{\text{пол}}$. Отметим, что если (2.6) не выполнено, то вся кинетическая энергия переходит в поверхностную уже при $R \leq a$ и нелинейная стадия процесса не развивается. Таким образом, окончательно имеем

$$(2.7) \quad R(t) = \left[\frac{5}{2\sqrt{\pi}} \frac{\Pi_0}{\rho_0} \sqrt{a} (t - t_0) + a^{5/2} \right]^{2/5}.$$

При выводе формулы (2.7) не учитывали влияния вязкости. Определим границы применимости такого подхода. Скорость убывания кинетической энергии из-за вязкости дается выражением [12] $\dot{E}_K = -\nu\rho_0 \int \text{grad}(v^2) ds$, где интегрирование ведется по поверхности жидкости, элемент ds ориентирован в направлении внешней нормали. Подставляя (2.7), находим $\dot{E}_K = -\frac{6\nu}{\rho_0} \frac{\Pi_0^2 a}{R^2}$. При расширении полусферы от начального радиуса a до некоторого радиуса R полная диссипация энергии $\Delta E = 12\sqrt{\pi}\Pi_0\sqrt{a}\nu \times \{ \sqrt{R} - \sqrt{a} \}$. Таким образом, влиянием вязкости можно пренебречь при $\frac{\Delta E}{E_0} \simeq 12\sqrt{\pi} \frac{\nu\rho_0}{\Pi_0} \sqrt{\frac{R}{a}} \ll 1$. Это условие выполнялось в экспериментах для всех рассмотренных жидкостей (параметры их приведены в таблице по данным [13]), за исключением глицерина при $T = 24^\circ\text{C}$.

Жидкость	ρ_0 , кг/м ³	σ , Н/м	ν , м ² /с	α , см ⁻¹	λ , кДж/кг	$w_{\text{пор}}$, Дж/см ²	w^* , Дж/см ²
Вода	998	0,073	$1,00 \cdot 10^{-6}$	1080	2256	1,4	2,1
Этанол	789	0,022	$1,52 \cdot 10^{-6}$	480	840	2,1	2,7
Глицерин	1260	0,065	$4,7 \cdot 10^{-5}$ (70 °C) $7,9 \cdot 10^{-4}$ (24 °C)	3640	962	1,6 (70 °C) 3,9 (24 °C)	2,2 (70 °C) —

Проведенное теоретическое рассмотрение дает следующую картину течения. Если

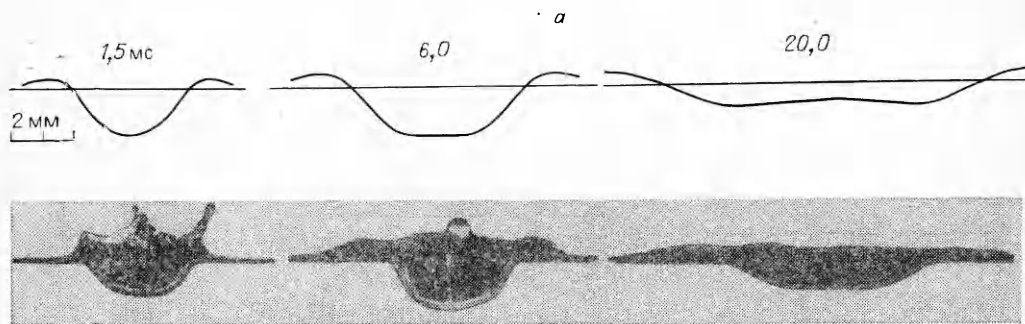
$$(2.8) \quad \Pi_0 < \sqrt{a\sigma\rho_0},$$

то на поверхности жидкости возникает расходящаяся от центра области приложения давления отдача ГКВ, описываемая выражением (2.4). При выполнении условия (2.6) движение носит существенно нелинейный характер: после короткой переходной стадии возмущаемая поверхность принимает форму расширяющейся полусферы, причем начальная энергия движения E_0 , как следует из приводимых ниже экспериментальных данных, составляет величину порядка 0,1 мДж, в то время как приращение свободной энергии для значений радиусов полусферы, рассматриваемых в данной работе ($R \leq 6$ мм), составляет всего $\sim 0,01$ мДж, что указывает на справедливость предположения, сделанного при выводе формулы (2.5). Таким образом, прекращение расширения полусферы в нашем случае не связано с затратами энергии движения на приращение свободной энергии жидкости. Изменение характера движения происходит в результате «захлопывания» полусферы жидкостью, которая вытесняется над поверхностью в процессе расширения и, имея лишь вертикальную скорость, не увлекается в горизонтальном направлении вслед за полусферой, а смыкается над ней, образуя замкнутый объем. В этой ситуации соотношение (2.3) несправедливо, так как следует дополнительно учесть работу против разности сил внешнего давления и давления внутри расширяющейся полости. Подробное гидродинамическое описание такого рода движений можно найти в [14]. Проведенные расчеты хорошо согласуются с экспериментальными результатами — после захлопывания полости расширение прекращается быстрее, чем это следует из формулы (2.5).

Отметим, что выводы теоретического анализа о существовании зависимости $R \sim t^{2/5}$ полностью согласуются с данными работы [10], в которой экспериментально исследованы цилиндрические и точечные взрывы на свободной поверхности жидкости и сделан вывод о том, что движение жидкости, вызванное точечным взрывом на ее поверхности, близко к автомодельному с показателем $n \simeq 0,38$.

3. Экспериментальные результаты. Для экспериментального изучения процесса взаимодействия оптического излучения с диэлектрическими жидкостями использовался электроразрядный CO_2 -лазер, излучение которого (длина волны 10,6 мкм) сильно поглощается всеми исследованными жидкостями (соответствующие коэффициенты поглощения α приведены в таблице по данным [15, 16]). Визуализация поверхностных возмущений проводилась по обычной теневой схеме (см., например, [2]) с импульсной подсветкой лазером па алюмоиттриевом гранате (длительность импульса 30 нс, длина волны после удвоения частоты 0,53 мкм). Временная задержка между моментами запуска CO_2 -лазера и лазера подсветки определялась с точностью не хуже 1 мкс. Точность измерения вертикальных отклонений поверхности $\sim 0,1$ мм. Полная энергия импульса излучения CO_2 -лазера менялась от 0,05 до 0,6 Дж и контролировалась проходным проволочным болометром, собранным по дифференциальной схеме. Регистрация осуществлялась в диапазоне времен задержки 0,2—100 мс, что позволило подробно изучить форму поверхностных возмущений и зависимость амплитуды отклонения поверхности от энергии лазерного излучения и от времени.

В ходе экспериментов обнаружено, что заметные возмущения поверхности, обусловленные действием импульса давления отдачи, возникают лишь при достижении определенного для каждой жидкости порогового значения плотности энергии излучения $w_{\text{пор}}$. Это связано с тем, что при малых энергиях взаимодействующего с жидкостью излучения интенсивные процессы испарения не происходят. Значения $w_{\text{пор}}$ указаны в таблице, где для сравнения приведены также и соответствующие значения удельных теплот парообразования λ .



Следует отметить, что при регистрации акустических сигналов, генерируемых в жидкости под действием импульса давления отдачи, также наблюдаются пороговые плотности энергии, превышение которых приводит к резкому увеличению амплитуды акустического сигнала. Для случая взаимодействия излучения CO_2 -лазера с водой такие измерения, в частности, проведены в [6, 7]. Найденное нами для воды значение $w_{\text{пор}} = 1,4 \text{ Дж/см}^2$ практически совпадает с величиной порога $1,5 \text{ Дж/см}^2$ [7] и несколько ниже значения $2,5 \text{ Дж/см}^2$ [6]. Как отмечалось в [6], наличие порога может быть связано с переходом от поверхностного испарения к объемному фазовому превращению.

Зависимость амплитуды отклонения поверхности от энергии такова, что уже при превышении $w_{\text{пор}}$ на 20—30 % возникающие поверхностные смещения не могут быть описаны в рамках теории линейного приближения (условие (2.8)). Систематические количественные измерения в столь узком интервале энергий не проводились. Установлено, однако, хорошее качественное соответствие расчетных и экспериментально зарегистрированных профилей поверхности даже при $h_{\text{max}} \sim a$. Так, на рис. 2, а профили поверхности воды для разных моментов времени сопоставлены с расчетом, проведенным по формуле (2.4) в предположении параболического распределения импульса отдачи $\Pi(r) = \Pi_0(1 - (r/a))^2$. Плотность энергии лазерного излучения, отвечающая фотографиям рис. 2, а, $w \approx 2,0 \text{ Дж/см}^2$, а параметры, использованные в расчете: $\Pi_0 = 1 \text{ Па}\cdot\text{с}$, $a = 2,1 \text{ мм}$ (условие применимости теории линейного приближения (2.8) для данного случая требует $\Pi_0 < 0,4 \text{ Па}\cdot\text{с}$). На рис. 2, б аналогичное сравнение проведено для глицерина (при $T = 24^\circ\text{C}$) в условиях, когда $w \approx 4,3 \text{ Дж/см}^2$. Расчет проводился по формуле (2.2) для $\Pi_0 = 6,7 \text{ Па}\cdot\text{с}$, $a = 1,8 \text{ мм}$.

Динамика развития возмущений поверхности различных жидкостей для больших значений энергии излучения представлена на рис. 3. Плотность энергии лазерного излучения w для воды $4,7 \text{ Дж/см}^2$, этанола $5,8 \text{ Дж/см}^2$, нагретого глицерина $7,6 \text{ Дж/см}^2$. Для всех трех жидкостей в исследованном интервале энерговкладов на определенной стадии поверхность принимает форму полусферы, расширяющейся внутрь жидкости.

С целью определения закона расширения экспериментальная зависимость радиуса полусферы R от времени t построена на рис. 4 в специально подобранных координатах. По оси ординат отложен $\ln R$, а по оси абсцисс — $(2/5) \ln t$. Экспериментальные точки отвечают следующим энерговкладам w : а — вода: 1, 2 — 2,8; 5,7 Дж/см²; этанол: 3, 4 — 4,25; 5,7 Дж/см²; б — глицерин (при $T = 70^\circ\text{C}$): 5, 6 — 4,2; 6,5 Дж/см². Здесь же для сравнения приведены аналогичные данные и для глицерина при $T = 24^\circ\text{C}$: 7, 8 — 6,6; 11,1 Дж/см² (в этом случае надо говорить не о радиусе полусферы, а об амплитуде отклонения поверхности, так как при указанных энерговкладах форма поверхности подобна изображенной на рис. 2, б). Из рис. 4 следует, что для всех энергий, начиная с некоторого минимального значения, существует интервал времени, в котором зависимость $R(t)$ выражается степенным законом с показателем $n = 2/5$, в полном соответствии с выражением (2.7).

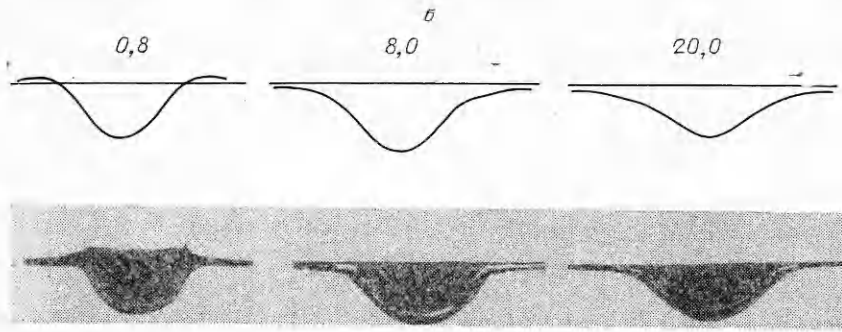


Рис. 2

Особый интерес для построения адекватной теоретической модели процесса взаимодействия оптического излучения с сильно поглощающими диэлектрическими жидкостями представляет зависимость полного импульса давления отдачи Π_0 от энергии излучения ε . Величину Π_0 в жидкости не удастся непосредственно измерить. Однако, считая, что связь между R и Π_0 , даваемая выражением (2.7), экспериментально подтверждена, и определяя из эксперимента $R(\varepsilon)$, нетрудно найти соотношение между Π_0 и ε . Расположим экспериментальные значения R , полученные для моментов времени, лежащих в интервале, где выполняется закон $R \sim t^{2/3}$, на графике рис. 5 в координатах, выбранных с учетом выражения (2.7), следующим образом:

$$(3.1) \quad y = \ln \left\{ \left(\frac{\rho_0}{\sqrt{a} t} \right)^{2/5} R A \right\}, \quad x = \frac{2}{5} \ln \left\{ \frac{\varepsilon - \varepsilon^*}{B} \right\}.$$

Все величины в (3.1) выражены в системе единиц СИ. Величина ε^* определяется в эксперименте и отвечает энергии, при которой максимальное отклонение поверхности жидкости от равновесия равно характерному

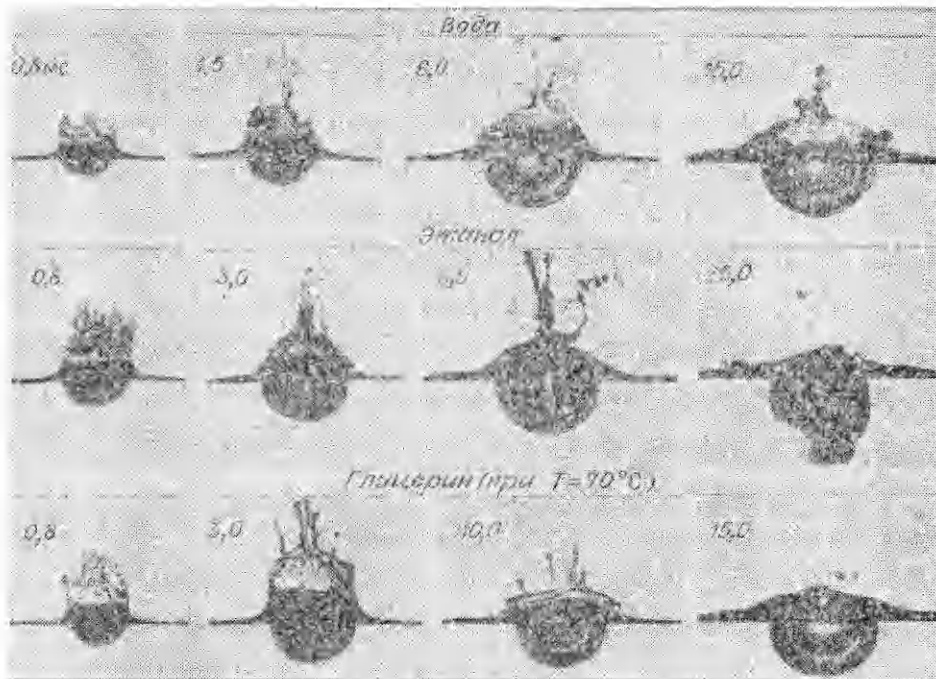


Рис. 3

радиусу области действия давления отдачи: $R|_{t=t^*}(\epsilon^*) = a (t^* - \text{момент достижения максимального отклонения, вычисляемый по формуле линейного приближения (2.1)})$. На рис. 5 значения произвольных констант A и B , позволяющих сделать безразмерными аргументы логарифмических функций в (3.1), выбраны для удобства представления экспериментальных данных в виде $A = 1,11 (\text{с} \cdot \text{м}/\text{кг})^{2/5}$, $B = 1,7 \cdot 10^{-2}$ Дж. Различным точкам отвечают следующие значения t : вода: 1, 2 — 1,5; 3 мс; этанол: 3, 4 — 1,5; 3 мс; глицерин (при $T = 70^\circ\text{C}$): 5 — 3 мс. Для всех случаев $a = 1,8$ мм. Аналогичные измерения были выполнены и для других значений радиуса. В качестве примера на рис. 5 приведены данные для воды при $a = 2,75$ мм, $t = 3$ мс (точки б). Как видно из рис. 5, экспериментальные точки при фиксированном радиусе лазерного луча ложатся на одну и ту же прямую для всех исследованных жидкостей. Аппроксимация этой прямой дает выражение для зависимости R от ϵ :

$$(3.2) \quad R = q(l) \left[\frac{\sqrt{a} t}{\rho_0} (\epsilon - \epsilon^*) \right]^{2/5}$$

($q(b)$ — общий коэффициент пропорциональности, зависящий от радиуса лазерного луча b). Функцией радиуса b является также и ϵ^* . Анализ экспериментальных данных позволяет установить, что в исследованном диапазоне изменения радиуса луча 1,2—2,5 мм коэффициент $q \sim 1/b^{4/5}$, а $\epsilon^* \sim b^2$. Сравнивая теперь (3.2) с теоретической формулой (2.7), запишем приближенное соотношение

$$(3.3) \quad \Pi_0 \simeq \gamma(w - w^*).$$

Здесь $w = \epsilon/(\pi b^2)$, а значения постоянных $w^* = \epsilon^*/(\pi b^2)$ указаны для каждой из жидкостей в таблице. Отметим, что (3.3) справедливо при $w - w^* \gg \sqrt{a \sigma \rho_0} / \gamma$ (в соответствии с условием (2.6)). Коэффициент γ одинаков для воды, этанола и нагретого до 70°C глицерина: $\gamma = 2,4 \cdot 10^{-4}$ с/м.

Это обстоятельство следует учесть при построении теории объемного испарения, призванной дать описание процесса взаимодействия интенсивного лазерного излучения с сильно поглощающими диэлектрическими жидкостями. Согласно (3.3), полученные в наших экспериментах значения полных импульсов давления отдачи для воды лежат в диапазоне $\Pi_0 \simeq (2,4 - 15,1)$ Па·с при $w = (3,1 - 8,4)$ Дж/см². Для сравнения укажем, что по данным акустических измерений,

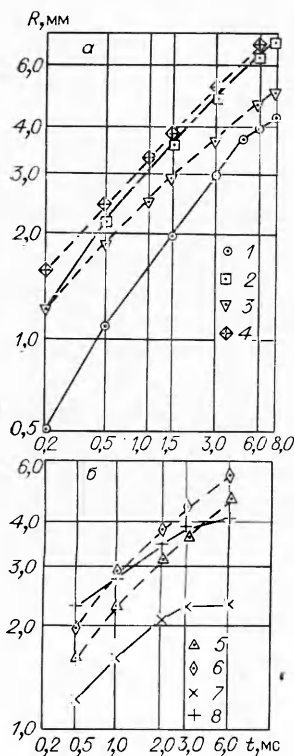


Рис. 4

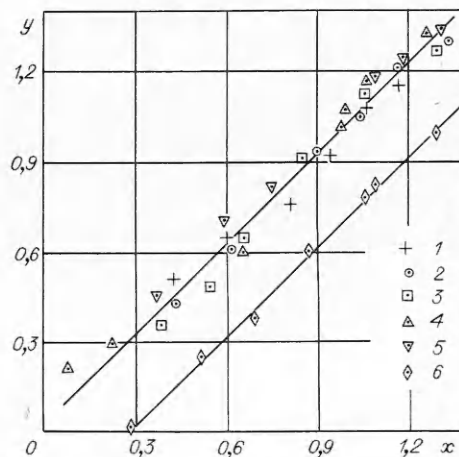


Рис. 5

проведенных в [7] для аналогичной экспериментальной ситуации (взаимодействие излучения электроразрядного CO₂-лазера с водой) при больших радиусах лазерного луча (~5 мм), полный импульс давления отдачи $\Pi_0 \sim 1$ Па·с при $w \simeq 0,85$ Дж/см². Рост отношения Π_0/w при увеличении радиуса пятна и неизменной w связан с повышением эффективности приложения реакции отдачи в условиях более длительного сохранения плоской геометрии разлета пара.

Отметим, что экспериментально установленные в работе закономерности позволяют оценивать переданный поверхности жидкости импульс давления отдачи по заданной энергии лазерного излучения. Объяснение этих закономерностей требует дальнейшего развития теории явления.

ЛИТЕРАТУРА

1. Bell C. E., MacCabee B. S. Shock wave generation in air and in water by CO₂-TEA laser radiation // Appl. Optic.— 1974.— V. 13, N 3.
2. Emmony D. C., Geerken T., Klein-Baltink H. Laser-generated high frequency sound waves in water // J. Acoust. Soc. Amer.— 1983.— V. 73, N 1.
3. Sigrist M. W., Kneubühl F. K. Laser-generated stress waves in liquids // J. Acoust. Soc. Amer.— 1978.— V. 64, N 6.
4. Бункин Ф. В., Трыбельский М. И. Резонансное взаимодействие мощного оптического излучения с жидкостью // УФН.— 1980.— Т. 130, вып. 2.
5. Emmony D. C. Interaction of IR-radiation with liquids // Infrared Phys.— 1985.— V. 25, N 1/2.
6. Алексеев В. Н., Егоров С. В. и др. Акустическая диагностика нестационарных процессов взаимодействия оптического излучения с сильно поглощающей диэлектрической жидкостью // Акуст. журн.— 1987.— Т. 32, № 6.
7. Витнас А. Ф., Корнеев В. В. и др. Импульс отдачи при нестационарном поверхностном испарении воды // ТВТ.— 1987.— Т. 25, № 2.
8. Emmony D. C., Geerken V. M., Straaijer A. The interaction of 10,6 laser radiation with liquids // Infrared Phys.— 1976.— V. 16, N 1/2.
9. Дерибас А. А., Похожаев С. И. Постановка задачи о сильном взрыве на поверхности жидкости // ДАН СССР.— 1962.— Т. 144, № 3.
10. Минин В. Ф. О взрыве на поверхности жидкости // ПМТФ.— 1964.— № 3.
11. Зосимов В. В., Наугольных К. А., Пученков О. В. Об одном случае возбуждения гравитационно-капиллярных волн при взаимодействии мощного лазерного излучения с жидкостью // IV Всесоюз. симп. по физике акустико-гидродинамических явлений и оптоакустике: Тез. докл.— Ашхабад: Изд-во АН ТССР, 1985.
12. Ландау Л. Д., Лифшиц Е. М. Гидродинамика.— М.: Наука, 1986.
13. Таблицы физических величин: Справочник/Под ред. акад. И. К. Кикоина.— М.: Атомиздат, 1976.
14. Наугольных К. А., Рой Н. А. Электрические разряды в воде: (Гидродинамическое описание).— М.: Наука, 1971.
15. Золотарев В. М., Морозов В. Н., Смирнов Е. В. Оптические постоянные природных и технических сред: Справочник.— Л.: Химия, 1984.
16. The Sadtler handbook of infrared spectra.— Philadelphia: Sadtler Res. Labs, 1978.

г. Москва

Поступила 27/IV 1988 г.,
в окончательном варианте — 21/VII 1988 г.

УДК 532

О. М. Лаврентьева

ТЕЧЕНИЕ ВЯЗКОЙ ЖИДКОСТИ В СЛОЕ НА ВРАЩАЮЩЕЙСЯ ПЛОСКОСТИ

При проведении некоторых современных технологических процессов требуется наносить на плоские поверхности тонкие пленки равномерной толщины. Один из применяемых для этого методов состоит в том, что вначале на плоскость наливается достаточно толстый слой жидкости, который затем утончается путем вращения образца [1]. Подобные методы используются при производстве зеркал [2], экранов цветных телевизоров [3], интегральных схем и магнитных дисков памяти [4]. С помощью вращающихся дисков также осуществляется разбрызгивание и перемешивание жидкостей для ускорения гетерогенных химических реакций в различных процессах химической технологии [4—6].

Для эффективного управления этими процессами нужно знать характер возникающих течений. Поскольку радиус вращающегося диска обычно много больше толщины слоя жидкости, при математическом моделировании можно заменять диск бес-